

UNIVERSITATEA POLITEHNICA
TIMIȘOARA
BIBLIOECA CENTRALĂ

ing. D. MIRON

completare la teza de doctorat :
„ ACTIONAREA ELECTRICA A TRAMVAIElor
„ FOLOSIND SCHEME CU TIRISTOARE”

COND. STIINȚIFIC prof. dr. ing. E. SERACIU

554564/a
554564/H
332

APLICAREA RELATIILOR DE CALCUL DEDUSE, LA SCHEMA DE ACTIONARE PROPUZA SI VERIFICAREA PRIN CALCUL SI PE CALE EXPERIMENTALA A REZULTATELOR

In perioada 1977-1978 am continuat preocupările privind principalele aspecte legate de utilizarea schemei cu variator de tensiune continuă la acționarea electrică a tramvaielor la noi în țară.

Am urmărit în mod. deosebit două aspecte importante și anume: aplicarea relațiilor deduse în teza de doctorat la schema de acționare propusă și verificarea experimentală a rezultatelor.

Schema de acționare din fig. 50 a fost concepută pentru a fi folosită la acționarea tramvaiului de mare capacitate din dotarea I.T.B. Ea poate fi însă aplicată cu bune rezultate la acționarea mijloacelor de transport în comun urban (metrou, tramvaie sau troleibus) dimensionând corespunzător elementele variatoarelor și ale schemei.

Având în vedere faptul că schema propusă nu a fost utilizată practic pînă în prezent, aplicarea relațiilor deduse în teză pentru calculul curentilor în diferite regimuri de funcționare am făcut-o pentru schema prezentată în fig. 54 cu ajutorul căreia s-a putut face și verificarea experimentală a rezultatelor.

Menționez faptul că prin aceasta nu se diminuesză cu nimic valabilitatea concluziilor la care s-a ajuns avînd în vedere că s-au menținut aceleași caracteristici de bază ale schemei de acționare și s-a folosit schema de comandă corespunzătoare prezentată în fig. 53 bis.

Motorul utilizat are următoarele caracteristici:

- puterea nominală : 74 kW;
- tensiunea nominală : 750 V
- curentul nominal : 100 A
- turăția nominală : 1470 rot/min.

Motorul este cu excitație serie avînd $r = 0,42 \Omega$ și $L = 5,7 \cdot 10^{-3} H$.

1. Regimul de pornire.

Am calculat curentii I_{max} , I_{min} , I_m cu relațiile (38), (39), (41) știind că:

... / ...

$$U_1 = 750 \text{ V}$$

$$r = 0,42 \Omega$$

$$T = \frac{1}{400} \text{ s}$$

$$\zeta_1 = 0,0136 \text{ s}$$

$$K = 0,48$$

$$\delta = \delta_{\min.} = \frac{T_{\min.}}{T} = \frac{42,5 \cdot 10^{-6}}{25 \cdot 10^{-4}} = 0,017$$

$$n = \infty$$

$$\text{Rezultat} = \frac{0,017 \cdot 0,0025}{0,0136}$$

$$I_{\max.} = \frac{1}{0,42} \left(750 \frac{1 - e^{-\frac{0,0025}{0,0136}}}{1 - e^{-\frac{0,017 \cdot 0,0025}{0,0136}}} \right) = 29,95 \text{ A}$$

$$I_{\min.} = \frac{1}{0,42} \left[750 \frac{e^{-\frac{0,983 \cdot 0,0025}{0,0136}} (1 - e^{-\frac{0,017 \cdot 0,0025}{0,0136}})}{1 - e^{-\frac{0,0025}{0,0136}}} \right] = 25,4 \text{ A}$$

$$I_m = 400 \left\{ \frac{750}{0,42} \left[0,017 \cdot 0,0025 - 0,0136 (1 - e^{-\frac{0,017 \cdot 0,0025}{0,0136}}) \right] + \right.$$

$$+ 0,0136 \cdot 29,95 \left(1 - e^{-\frac{0,983 \cdot 0,0025}{0,0136}} \right) + 0,0136 \cdot 25,4 \left(1 - e^{-\frac{0,017 \cdot 0,0025}{0,0136}} \right)$$

$$= 26,5 \text{ A}$$

Relațiile (38), (39), (41) pot fi simplificate dacă se dezvoltă în serie și se iau numai primii doi termeni ai seriei obținindu-se :

$$I_{\max.} = \frac{1}{r} (\delta U_1 - kn) \quad (1)$$

$$I_{\min.} = \frac{1}{r} \left[\delta U_1 \left(1 - \frac{T}{\zeta_1} \right) - kn \right] \quad (2)$$

$$I_m = (1 - \delta) I_{\max.} + \delta I_{\min.} \quad (3)$$

In această situație se obțin următoarele valori:

$$I_{\max.} = \frac{1}{0,42} \cdot 0,017 \cdot 750 = 30,35 \text{ A}$$

$$I_{\min.} = \frac{1}{0,42} \left[750 \cdot 0,017 \cdot \left(1 - \frac{0,0025}{0,0136} \right) \right] = 24,88 \text{ A}$$

$$I_m = 30,25 \text{ A} \dots / \dots$$

Față de valorile obținute cu relațiile complete se înregistrează următoarele abateri:

La	I_{\max}	1,33%
La	I_{\min}	2,04%
La	I_m	14,6%

Considerind cele două cazuri extreme în care poate avea loc pornirea vehiculului se pot determina valorile lui δ

$$\frac{I}{I_{\max}} = \frac{1}{r} \delta_{\max} \cdot U$$

Dar

$$\frac{I}{I_{\max}} = 301$$

Rezultă $\delta_{\max} = \frac{301 \cdot 0,42}{750} = 0,017$

Se știe că

$$\delta = \frac{T_i}{T}$$

Deci

$$T_{i_{\max}} = \delta_{\max} \cdot T = 0,017 \cdot 2,5 \cdot 10^{-6} \text{ s}$$

$$\frac{I}{I_{\max}} = 196 A$$

Rezultă $\delta_{\min} = \frac{196 \cdot 0,42}{750} = 0,11 ; T_{i_{\min}} = 275 \cdot 10^{-6} \text{ s}$

In continuare voi evidenția legătura între creșterea lui δ și accelerarea motorului.

Să presupunem că motorul se accelerează de la turăția de 200 rot/min pînă la turăția de 250 rot/min și apoi la turăția de 300 rot/min la curentul de pornire I_{p_1} .

Rezultă:

$$\delta_1 = \frac{r I_1}{U_1} + \frac{k}{U_1} \cdot 200$$

$$\delta_2 = \frac{r I_1}{U_1} + \frac{k}{U_1} \cdot 250$$

$$\delta_3 = \frac{r I_1}{U_1} + \frac{k}{U_1} \cdot 300$$

Se observă că

$$\delta_2 - \delta_1 = \delta_3 - \delta_2 = \frac{k \Delta n}{U_1}$$

Deci în timpul pornirii la creșteri egale ale lui δ corespund ... / ...

creșteri egale ale turăției motorului.

In timpul pornirii δ crește practic liniar de la valoarea δ_{\min} destul de apropiată de zero, la valoarea δ_{\max} , destul de apropiată de 1. Panta acestei drepte depinde de timpul de pornire aşa cum se afată în fig. 1.

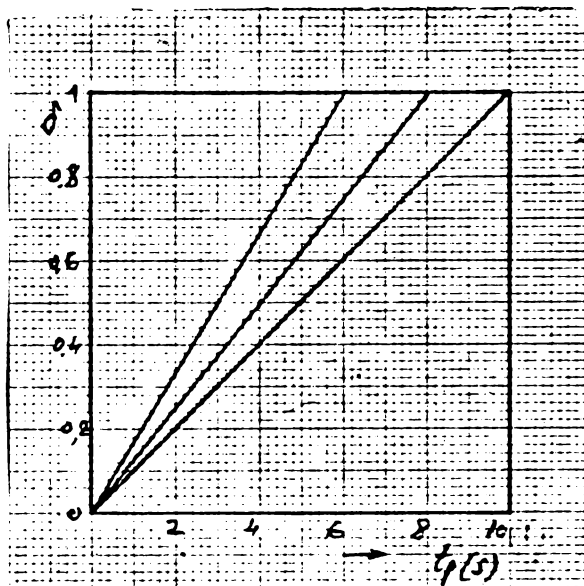


Figura 1

2. Régimul de modificare a turăției

Să presupunem că trebuie să modificăm turăția motorului de la valoarea n_n la valoarea $n < n_n$

In baza relațiilor (47), (48) rezultă:

$$I_{\max} = \frac{1}{r+6n} \left(U_1 - \frac{e^{-\frac{t}{T}} - e^{-\frac{\delta T}{2}}}{1 - e^{-\frac{T}{2}}} - an \right) \quad (4)$$

$$I_{\min} = \frac{1}{r+6n} \left[U_1 - \frac{e^{-\frac{t}{T}} - \frac{1-e^{-\frac{t}{T}}}{1-e^{-\frac{T}{2}}}}{1 - e^{-\frac{T}{2}}} \right] \quad (5)$$

Din caracteristica de magnetizare a motorului menționat am determinat constantele a, b.

$$a = 0,47$$

$$b = 2,5 \times 10^{-8}$$

In aceste condiții în urma calculelor efectuate pentru turăția de 1445 rot/min corespunzătoare la $\delta = 0,96$ am obținut:

$$I_{\max} = 109 \text{ A} \quad I_{\min} = 90,4 \text{ A} \quad I_m = 91,2 \text{ A}$$

Si relațiile de mai sus, inclusiv relația (49) din teză
... / ...

pot fi simplificate obținându-se:

$$I_{max} = \frac{1}{r+b_n} (\delta U_1 - \alpha n) = 87,64 \quad (6)$$

$$I_{min} = \frac{1}{r+b_n} \left[\delta \left(1 - \frac{1-\delta}{2} T \right) U_1 - \alpha n \right] = 80,44 \quad (7)$$

$$I_m = (1 - \delta) I_{max} + \delta I_{min} = 80,94 \quad (8)$$

In acest caz erorile sunt ceva mai mari și anume 10,46% pentru I_{max} , 11,06%, pentru I_{min} și 10,96% pentru I_m .

3. Regimul de frânare

In cazul frânerii dinamice rezistența de frânare rezultă din relația (81) pusă sub forma:

$$R = \frac{E_{max}}{I_{min}} = \frac{1000}{30} \approx 33 \Omega$$

Calculul curentilor conform relațiilor (89), (90), (92) conduce la valorile:

$$I_{max} = 53,2 \text{ A}$$

$$I_{min} = 20,4 \text{ A}$$

$$I_m = 47,88 \text{ A}$$

Ca și în cazurile anterioare se obțin următoarele expresii simplificate:

$$I_{max} = \frac{\alpha n}{r+b_n} \frac{\delta z_2}{z_1 + \delta(z_2 - \gamma)} + \frac{\alpha n}{R+r+b_n} \frac{z_1 - \delta T}{z_1 + \delta(z_2 - \gamma)} \quad (9)$$

$$I_{min} = \frac{\alpha n}{R+r+b_n} \frac{z_1}{z_1 + \delta(z_2 - \gamma)} + \frac{\alpha n}{r+b_n} \frac{\delta(z_2 - T)}{z_1 + \delta(z_2 - \gamma)} \quad (10)$$

$$I_m = (1 - \delta) I_{max} + \delta I_{min} \quad (11)$$

Calculind curentii și cu aceste relații am obținut valorile:

$$I_{max} = 50,29 \text{ A}$$

$$I_{min} = 20,77 \text{ A}$$

$$I_m = 47,33 \text{ A.}$$

Se observă că diferențele între valorile obținute sunt neglijabile.

Ca și în cazul pornirii, calculul valorilor lui δ' pentru curentul minim și curentul maxim de frânare pentru $n = 1470$ rot/min conduce la următoarele rezultate:

$$\begin{aligned} \delta_{\min} &= 0,03 \\ \delta_{\max} &= 0,58 \end{aligned}$$

La frânarea cu recuperare de energie considerind că aceasta are loc la tensiunea maximă a motorului funcționînd în regim de generator serie autoexcitat aplicînd relațiile (114), (115), (116) am obținut:

$$I_{\max} = 794 \text{ A}$$

$$I_{\min} = 762 \text{ A}$$

$$I_m = 790 \text{ A}$$

Relațiile (114), (115), (116) pot fi aduse la forma simplificată

$$I_{\max} = \frac{a_n}{r \cdot b_n} - \frac{U_1}{r \cdot b_n} \frac{z_1 - \delta' r}{z_1 [1 + \delta' (1 - \frac{T}{z_1})]} \quad (12)$$

$$I_{\min} = \frac{a_n}{r \cdot b_n} - \frac{U_1}{r \cdot b_n} \frac{1}{1 + \delta' (1 - \frac{T}{z_1})} \quad (13)$$

$$I_m = (1 - \delta') I_{\max} + \delta' I_{\min} \quad (14)$$

Calculul efectuat cu aceste relații a condus la următoarele valori:

$$I_{\max} = 759 \text{ A}$$

$$I_{\min} = 730 \text{ A}$$

$$I_m = 756 \text{ A}$$

Așa cum era de așteptat, curentul de frânare este foarte mare și el trebuie limitat la valoarea admisă de motor. Rezistența de limitare rezultă în baza relației:

$$(U_G)_{\max} - (U_1)_{\min} \leq (R_s + r) I_{\max}$$

$$R_s = 2,13 \Omega$$

Făcînd apel la fig. 38 din teză rezultă:

$$\kappa = \frac{R_s}{r + R_s} = \frac{2,13}{2,55} = 0,835$$

$$f_1(\delta') = 1 - 0,1 = 0,9$$

$$f_2(\delta) = 0,835^2 \cdot 0,1^2 - 2 \cdot 0,835 \cdot 0,1 + 1 = 0,84$$

$$f_1(\delta) > f_2(\delta)$$

$$\frac{P_1}{P_2} = \frac{1-0,1}{(1-0,835)^2} = \frac{0,9}{0,845} = 1,065$$

Deci pierderile de energie în rezistență de limitare vor fi cu 6,5 % mai mari în cazul legării acesteia între variator și linia de contact.

Puterea ce se disipa în rezistență de limitare la începutul perioadei de frânare cu recuperare este:

$$P = \rho_s I_f^2 \approx 83 \text{ kW}$$

Din această cauză unii autori recomandă ca limitarea curentului de frânare să nu se realizeze prin inserierea unei rezistențe suplimentare, ci cu ajutorul unor scheme electronice adecvate. Este adevărat că soluția este mai elegantă dar scumpește mult instalația și nu se justifică în schema de acționare a tramvaielor la noi în țară.

4. Influența perioadei de reglare asupra curenților I_{\max} , I_{\min} , I_m .

Am calculat curenții în cele trei regimuri de funcționare a motorului pentru $T = 0,018$; $T = 0,005$ S; $T = 0,0025$ S; $T = 0,001$ s, folosind relațiile simplificate.

Datele obținute sunt prezentate în tabelul 1 și cu ajutorul lor am trăsat graficul din fig. 2.

Tabelul 1

Curentul (A)	Pornire				$\delta = 0,017$
	0,01	0,005	0,0025	0,001	
I_{\max}	30,35	30,35	30,35	30,35	
I_{\min}	8,2	19,4	24,8	28,2	
I_m	29,97	30,15	30,25	30,3	

Tabel 1 (continuare)

Modificarea turăției

Curentul (A)	T(S)				$\dot{\epsilon} = 0,96$
	0,01	0,005	0,0025	0,001	
I_{max}	97,6	97,6	97,6	97,6	
I_{min}	45	71,4	80,4	92,8	
I_m	47,1	72,4	80,9	92,9	

Frânare dinamică

I_{max}	134	69,4	50,3	32	$\dot{\epsilon} = 0,1$
I_{min}	20,7	20,7	20,7	20,7	
I_m	122,7	64,5	47,3	30,8	

Frânare cu recuperare de energie

I_{max}	875	816	759	752	$\dot{\epsilon} = 0,1$
I_{min}	765	766	730	727	
I_m	863,5	811	756	749,0	

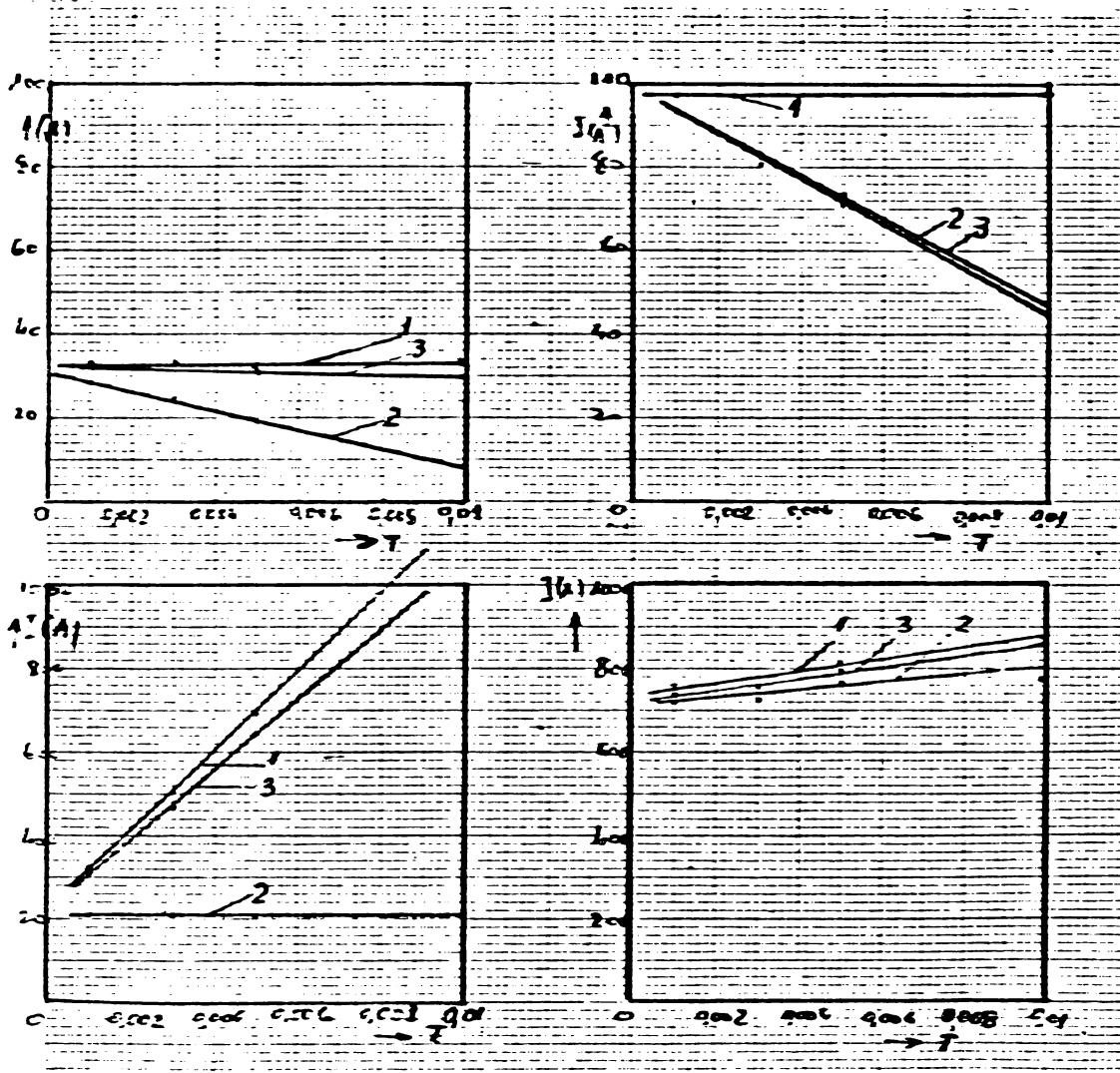


Figura 2

1 - I_{max}
2 - I_{min}
3 - I_m

Analizînd tabelul 1 și fig. 2 se desprind următoarele concluzii:

- La pornire și la modificarea turăției curentii scad odată cu creșterea perioadei de reglare;
- La frînare curentii cresc odată cu creșterea perioadei de reglare;
- Variația curentilor în funcție de perioada de reglare este practic liniară;
- La pornire I_{max} și I_m practic nu variază în funcție de perioada de reglare;
- La modificarea turăției la valori mari ale lui δ , I_m este practic egal cu I_{min} ;
- La frînarea reostatică variația curentilor I_{max} , I_m în funcție de T este foarte pronunțată în timp ce valoarea lui I_{min} rămîne practic constantă;
- La frînarea cu recuperare de energie variația curentilor în funcție de T este mult mai redusă, iar diferențele între I_{max} , I_{min} și I_m sunt neglijabile la valori mici ale perioadei de reglare;
- Ondularea curentului prin motor scade odată cu scăderea perioadei de reglare a variatorului. Reducerea de o sută de ori a perioadei de reglare duce la scăderea ondulării de zece ori la pornire, de 11 ori la modificarea turăției, de 10 ori la frînarea reostatică și de 200 ori la frînarea cu recuperare de energie.

De obicei, comanda aprinderii și stingerii tiristorului principal al variatorului se dă în funcție de valoarea $\Delta I = I_{max} - I_{min}$ stabilită pentru regimul de funcționare considerat.

Menținerea constantă a lui ΔI , așa cum rezultă din relația:

$$\Delta I = \frac{4\pi}{L} f(-\sigma)$$

presupune modificarea continua a frecvenței de lucru odată cu modificarea raportului ciclic δ .

In fig. 3 am trasat curba $T = f(\delta)$, pentru $\Delta I = 155A$, respectiv 100 A în cazul motorului studiat, alimentat la tensiunea de 750 V.

Din figură se constată că raportul între frecvența maximă și minimă este $\frac{212}{79} = 2,75$ pentru $\Delta I = 155 A$ și $\frac{333}{125} = 2,66$ pentru $\Delta I = 100 A$.

. . . / ...
-

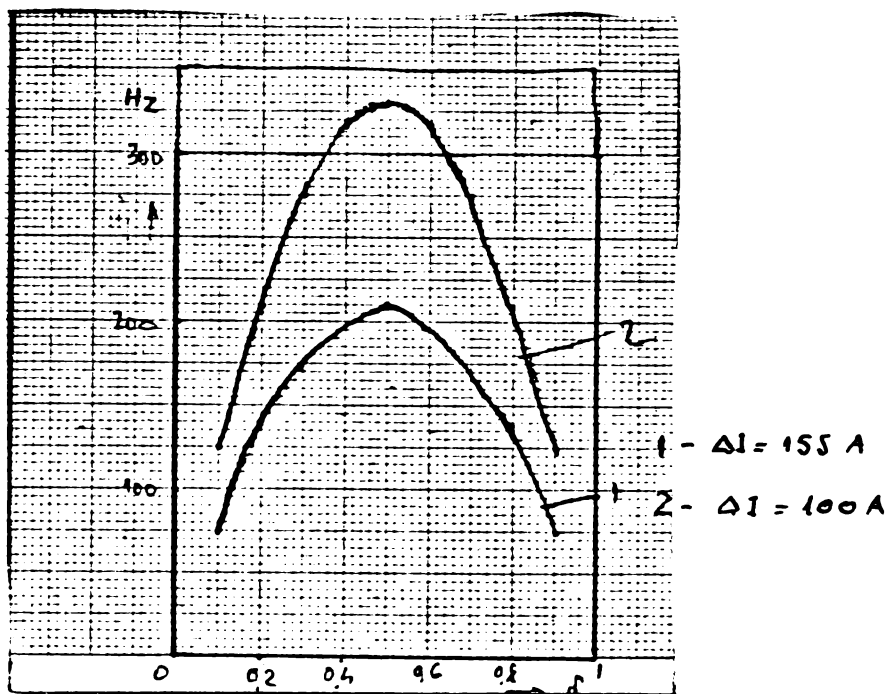


Figura 3

Schemele utilizate practic lucrează cu două frecvențe de 200 Hz pentru $0,2 > \delta > 0,8$ și cu frecvență de 400 Hz pentru $0,2 < \delta < 0,8$. În această situație apar variații ale lui ΔI între valorile 52 A și 82 A respectiv într-o plajă care reprezintă peste 35 % din valoarea maximă, aşa cum se arată în fig. 4 curba 1. Dacă modificarea frecvenței s-ar fi realizat la $\delta = 0,3$ respectiv $\delta = 0,7$, ΔI ar fi avut aspectul curbei 2, iar plaja de variație ar fi fost între 59 A și 105 A respectiv aproape 45% din valoarea maximă.

5. Determinarea prin calcul a economiei de energie la pornire

Consider cazul cînd pornirea s-ar realiza conform schemei din fig. 22 din teză.

Rezistența de pornire e determinată din condiția ca la începutul perioadei de pornire să nu se depășească curentul maxim de pornire chiar la tensiunea maximă a liniei de contact.

$$R = \frac{U_{max}}{I_{max}} - r = 4,18 \Omega$$

... / ...

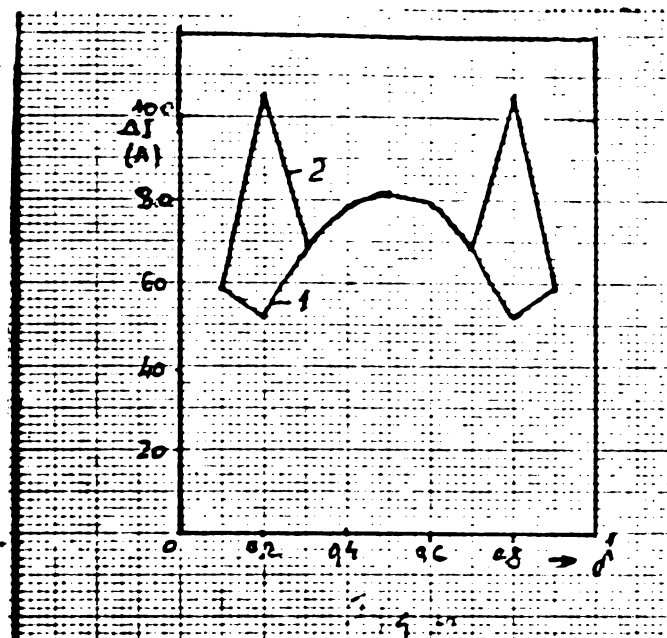


Figura 4

Variatorul asigură o creștere liniară a tensiunii la bornele motorului în perioada pornirii prin reducerea progresivă a rezistenței inseriate. În aceste condiții, energia disipată în timpul pornirii în rezistență de pornire va fi:

$$W_p = \frac{P_m t_p}{3600}$$

Pentru $t_p = 0,6$ rezultă $W_p = 134 \text{ Wh}$

Energia totală va fi

$$W = 134 n_p t_e$$

unde: n_p = numărul pornirilor pe oră

t_e = timpul de exploatare pe zi (ore)

Considerind $n_p = 50$ și $t_e = 15$ ore (valori ce concordă cu datele din statisticile ITB) rezultă că într-o zi se consumă în rezistență $W_t = 100,5 \text{ kWh}$.

La pornirea cu schema din fig. 23 aceste pierderi sunt evitate.

Dacă motorul funcționează pe toată durata la puterea nominală, energia consumată de acesta ar fi 1100 kWh.

Deci energia economisită în această situație prin utilizarea schemei din fig. 23 reprezintă cca. 9%.

La frânarea cu recuperare de energie din relațiile (12),

... / ...

(13) se observă că $\Delta I = I_{\max} - I_{\min}$ crește ddata cu creșterea duratei relative de conectare. Acest lucru constituie un avantaj care permite realizarea frânării cu recuperare chiar în situația cînd turația motorului scade sub valoarea turației nominale. În timpul procesului de frânare curentul prin motor variază între I_{\max} și I_{\min} cu frecvența de lucru a variatorului. În perioada $T(1 - \delta)$ cînd motorul funcționînd în regim de generator debitează energie în linia de contact, curentul scade de la I_{\max} la I_{\min} într-un timp cu atît mai scurt cu cît δ este mai mare.

Astfel pentru $\delta = \delta_{\max} = 0,96$ din (9) și (10) rezultă $\Delta I = 1,66$ A iar $\frac{di}{dt} = 1,66 \cdot 10^6$ A/S.

6. Acceleratia la pornire

Pornind de la relația

$$M = M_D + M_r \quad (15)$$

unde

$$M = Ci$$

$$M_D = \frac{G \delta^2}{375} \frac{dn}{dt}$$

$$M_r = \frac{kC \Delta n}{r}$$

In cazul comenzi prin impulsuri de tensiune se ajunge la ecuația

$$\frac{dn}{dt} + \frac{n}{T_{x_1}} = \frac{\sigma n_1 - \beta n_2}{T_{x_1}} \quad (16)$$

care conduce la soluția

$$n = \sigma n_1 - (\alpha n)_1 - [\sigma n_1 - \beta n_2] e^{-\frac{t}{T_{x_1}}} \quad (17)$$

unde:

$$T_{x_1} = \frac{G \delta^2}{375} \frac{r}{kC}$$

$$n_1 = \frac{U_1}{K}$$

$$(\Delta n)_1 = \frac{i_r}{K}$$

In cazul pornirii cu reostat turația crește conform relației cunoscute

$$n = n_1 - (\alpha n)_2 - [n_1 - (\alpha n)_2] e^{-\frac{t}{T_{x_2}}} \quad (18)$$

unde:

$$\tau_{x_2} = \frac{G \theta^2}{3 \pi s} \frac{r + R}{\kappa C}$$

$$(\Delta n)_2 = \frac{i(r + R)}{\kappa}$$

Din (17) și (18) rezultă accelerările la pornire pentru cele două cazuri.

$$a_1 = \left(\frac{d^2 n}{dt^2} \right)_1 = - \frac{1}{\tau_{x_1}^2} [dn_1 - (\Delta n)_1] e^{-\frac{t}{\tau_{x_1}}}, \quad (19)$$

$$a_2 = \left(\frac{d^2 n}{dt^2} \right)_2 = - \frac{1}{\tau_{x_2}^2} [n_1 - (\Delta n)_2] e^{-\frac{t}{\tau_{x_2}}} \quad (20)$$

Analizând relațiile (19), (20) pentru cele două cazuri extreme ($t = 0$ și $T = t_p$) rezultă următoarele:

$$a^* \quad t = 0$$

$$\frac{a_1}{a_2} = \left(\frac{\tau_{x_2}}{\tau_{x_1}} \right)^2 \frac{dn_1 - (\Delta n)_1}{n_1 - (\Delta n)_2} \quad (21)$$

Se consideră că la $t = t_p$, $\delta = 1$ și $(\Delta n)_1 - (\Delta n)_2 \neq \Delta n$

În aceste condiții

$$\frac{a_1}{a_2} = \left(\frac{\tau_{x_2}}{\tau_{x_1}} \right)^2 \frac{e^{-\frac{t_p}{\tau_{x_1}}}}{e^{-\frac{t_p}{\tau_{x_2}}}} \quad (22)$$

Relația (22) poate fi adusă la forma:

... / ...

$$\frac{O_1}{O_2} \cdot \left(\frac{T_{x_2}}{T_{x_1}} \right)^2 \cdot \frac{1 - \frac{t_{p_1}}{T_{x_1}}}{1 - \frac{t_{p_2}}{T_{x_2}}} = \left(\frac{T_{x_2}}{T_{x_1}} \right)^3 \cdot \frac{T_{x_1} - t_{p_1}}{T_{x_2} - t_{p_2}} \quad (23)$$

știind că

$$t_{p_1} = T_{x_1} \ln \frac{n_1 - (\Delta n)_1}{n_1 - (\Delta n)_1 - n}$$

$$t_{p_2} = T_{x_2} \ln \frac{n_1 - (\Delta n)_2}{n_1 - (\Delta n)_2 - n}$$

rezultă

$$\frac{O_1}{O_2} = \left(\frac{T_{x_2}}{T_{x_1}} \right)^3 \cdot \frac{T_{x_1}}{T_{x_2}} \cdot \frac{\left(1 - \ln \frac{n_1 - \Delta n}{n_1 - \Delta n - n} \right)}{\left(1 - \ln \frac{n_1 - \Delta n}{n_1 - \Delta n - n} \right)} = \left(\frac{T_{x_2}}{T_{x_1}} \right)^2 = 1 \quad (24)$$

deoarece la sfîrșitul perioadei de pronire $R \neq 0$ și $T_{x_1} = T_{x_2}$.
Pentru motorul considerat, în cazul cînd pornirea se face la
currentul maxim $i = 196$ A rezultă:

$$T_{x_1} = 0,125 \text{ s}$$

$$n_1 = 1800 \text{ rot/min}$$

$$(\Delta n)_1 = 170 \text{ rot/min}$$

$$r + R = 3,82 \text{ n}$$

$$(\Delta n)_2 = 1560 \text{ rot/min}$$

$$T_{x_2} = 1,14 \text{ s}$$

$$\frac{O_1}{O_2} = \left(\frac{1,14}{0,125} \right)^2 \cdot \frac{0,125}{1,14} \cdot \frac{170}{1560} = 1,66$$

Pentru un moment oricare $0 \leq t_1 \leq t_p$

$$\frac{O_1}{O_2} \cdot \left(\frac{T_{x_2}}{T_{x_1}} \right)^3 \cdot \frac{1 - \frac{t_1}{T_{x_1}}}{1 - \frac{t_1}{T_{x_2}}} \cdot \frac{\left(1 - \ln \frac{n_1 - \Delta n}{n_1 - \Delta n - n} \right)}{\left(1 - \ln \frac{n_1 - \Delta n}{n_1 - \Delta n - n} \right)} \quad (25)$$

... / ...

d. Influența curentului de pornire asupra raportului $\frac{a_1}{a_2}$

Calculînd raportul $\frac{a_1}{a_2}$ conform relației (21) pentru diferite valori ale curentului de pornire am obținut datele din tabelul 2 și graficul din fig. 5.

Tabelul 2

	Curentul de pornire (A)				
	30	50	100	150	170
a_1	0,015	0,026	0,054	0,083	0,097
T_{x_1}	0,125	0,125	0,125	0,125	0,125
T_{x_2}	7,47	4,47	2,23	1,49	1,14
$(\Delta n)_1$	26	44	88	131	170
$(\Delta n)_2$	1562	1562	1562	1562	1562
$\frac{a_1}{a_2}$	2,76	2,33	2,03	1,79	1,66

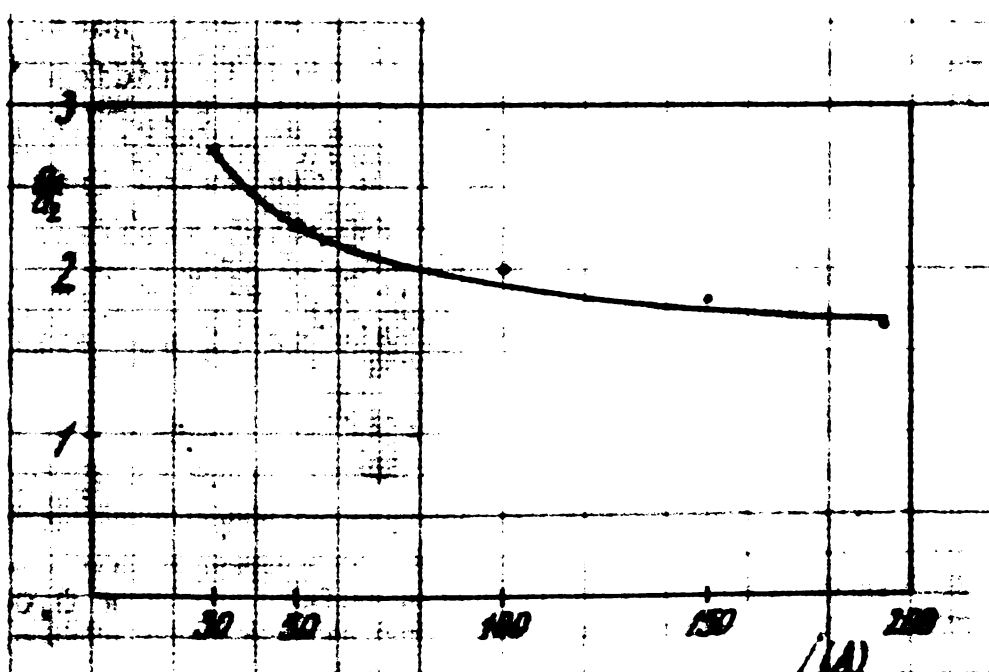


Figura 5

Se constată că raportul accelerărilor la pornire este cu atît mai mare cu cît curentul de pornire este mai mic. Scăderea acestui raport este mai accentuată în domeniul curenților mai mici decît curentul nominal al motorului.

7. Verificarea experimentală a rezultatelor obținute prin calcul

Pentru verificarea experimentală a rezultatelor obținute prin calcul am folosit standul realizat conform schemei din fig. 54.

Pozitia contactelor din schemă pentru diferite regimuri de funcționare rezultă din tabelul 3.

Tabelul 3

Regimul	AV ₂	L	KT ₁ , KT ₂	KT ₃	KF ₁	KF ₂	KF ₃	KF ₄	I ₁	I ₂
Pornire și funcționare ca motor	x		x	x	x	x			x	x
Frânare reostatică						x	x	x		
Frânare recuperativă și mixtă	x					x	x	x	x	x

Pentru pornirea la sarcină minimă se acționează asupra rezistenței variabile R₁ pînă cînd ampermetrul A₂ indică 30 A.

Schema de comandă din fig. 53 bis dă posibilitatea alimentării motorului cu impulsuri de tensiune avînd frevență de 200 Hz și de 400 Hz. În felul acesta am putut verifica valoriile curentilor din tabelul 1 pentru T = 0,005 S și T = 0,0025 prezente în tabelul 4, iar compararea rezultatelor și abaterile rezultă din tabelul 5.

Tabelul 4

Valori medii măsurate (A)	T = 0,005	T = 0,0025
Curentul la pornire	35,7	36,2
Curentul corespunzător funcționării la turăția de 1445 rot/min	95,7	96,2
Curentul la frânare dinamică	67,2	52,5

Tabelul 5

Regimul	T (S)	Valori medii (A)		Abateri % (față de cele calculate)
		calculată	măsurată	
Pornire	0,005	30,15	35,7	+ 18,4
	0,0025	36,25	36,2	+ 19,6
Funcționare	0,005	72,4	60	- 17
	0,0025	80,9	60,5	- 25,0
Frânare dinamică	0,005	64,5	67,2	+ 4
	0,0025	47,3	52,5	+ 11,4

In funcționare s-a măsurat curentul de sarcină pentru că re tutăia motorului afost de 1445 rot/min și tensiunea la bornele acestuia de 720 V ($0,96 \times 750$) aşa cum s-a calculat de fapt cu ajutorul relațiilor (6), (7), (8).

Abaterile valorilor măsurate față de cele calculate cu ajutorul relațiilor deduse se găsesc în limitele normale. Ele au apărut ca urmare a faptului că la efectuarea calculelor s-au neglijat o serie de elemente și fenomene ce au loc în motor ca urmăre a alimentării acestuia cu tensiune sub formă de impulsuri.

In relațiile de calcul s-a considerat reactanța motorului constantă, s-a neglijat reactanța și rezistența conductoarelor de legătură, s-a făcut abstracție de fenomenul de saturatie etc.

Rezultă că relațiile de calcul deduse sunt corecte și pot fi aplicate în bune condiții pentru determinarea curentilor motorului comandat prin variator de tensiune continuă.

Măsurările efectuate pe tramvaiul Timiș 1 echipat cu variator de tensiune continuă asupra accelerării la pornire la curentul maxim de pornire au evidențiat valori cu 15% mai mari decât cele măsurate la același tip de tramvai echipat cu reostat de pornire. Diferența față de valoarea calculată și prezentată în tabelul 2 (66%) se explică prin aceea că raportul constantelor de timp $\frac{x_2}{x_1}$ este sensibil influențat de valoarea GD a vehiculului raportată la axul motorului.

In tabelul 6 am prezentat principalele elemente care stau la baza comparării schemei propuse de mine pentru acționarea elec-

... / ...

trică a tramvaiului la noi în țară cu alte scheme similare.

Din acest tabel se constată că schema propusă de mine este astfel dimensionată încît fiecare variator să poată fi folosit la o putere de 300 kW. Variatoarele sunt comandate decalat cu o semiperioadă pentru $0,2 \leq \delta \leq 0,8$ astfel că filtrul de retea se dimensionează pentru frecvența de 400 Hz.

Cu toate că conține două variatoare și realizează aceleași funcții ca și schema tramvaiului ACEC, schema propusă se caracterizează prin diminuarea numărului de diode cu 50% numărul contactelor mecanice fiind mai mare doar cu 25%.

Fiabilitatea calculată în aceleași condiții și pentru aceleași valori ale intensității de defectare a elementelor componente este mai mare cu 6% la schema propusă de mine decât cea corespunzătoare schemei tramvaiului KT(RSC), cu 7 % față de schema tramvaiului Timiș 1 și cu 8,6 % față de schema ACEC

**Comparație între schema propusă și alte
scheme similare pentru acționarea
trameiului**

Tabelul 6

Schema	Elemente de comparatie
Puterea tensiunăs Felul nominală nominală comenziș varieș torului (kW)	Nr. de lucru de tracțiune (Hz) (V)
Schema propusă	Nr. de contacte teleor mecanice (buc)
Schema trameiului lui Timiș 1	Nr. de elemente teleor semiconducțori (buc)
Schema trameiului lui A.C.B.C	Nr. de elemente teleor semiconducțori (buc)
Schema trameiului KT (KSC)	Nr. de elemente teleor semiconducțori (buc)